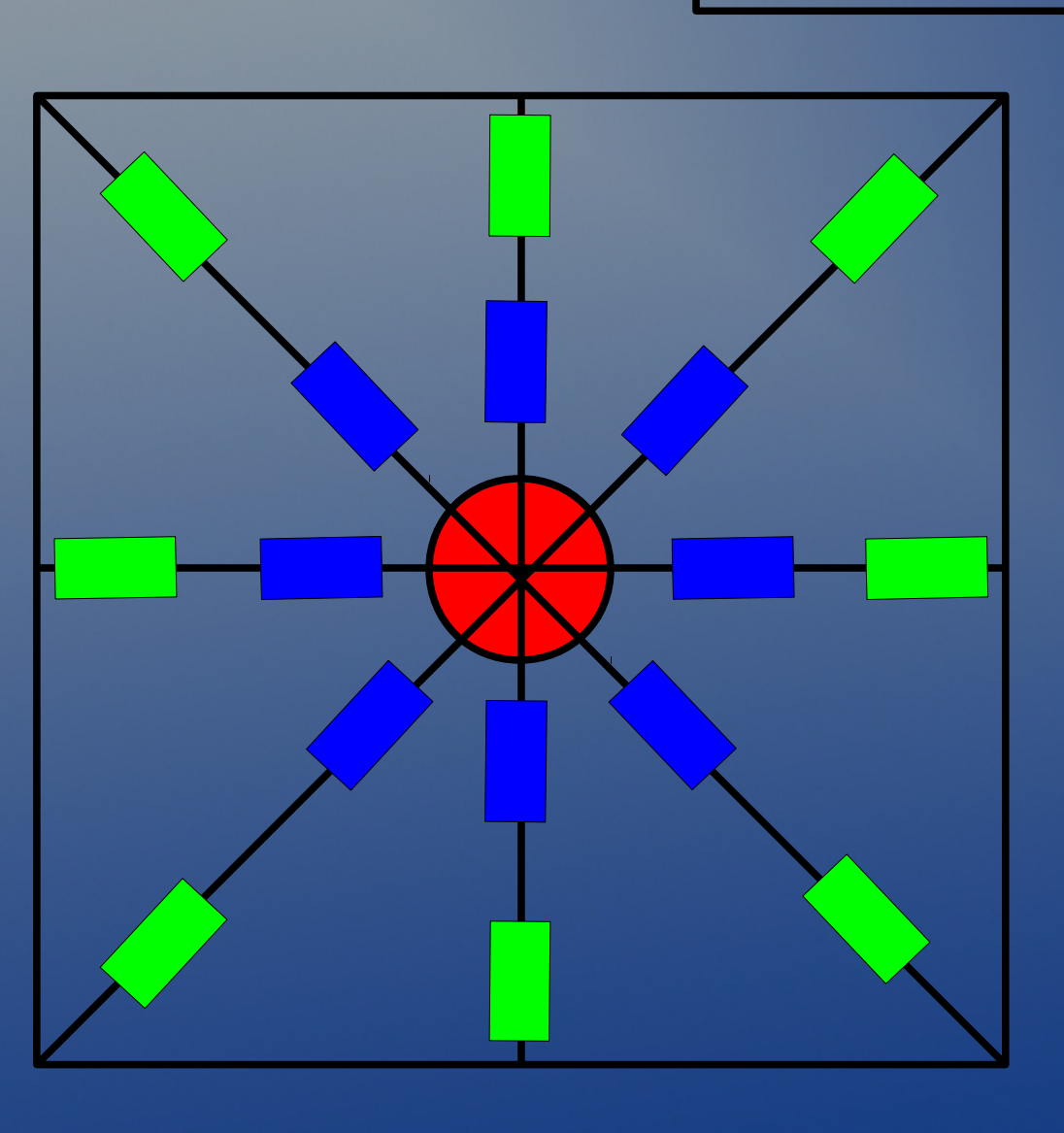
# Etudes et simulations de décharges dans les détecteurs gazeux à micro-structures

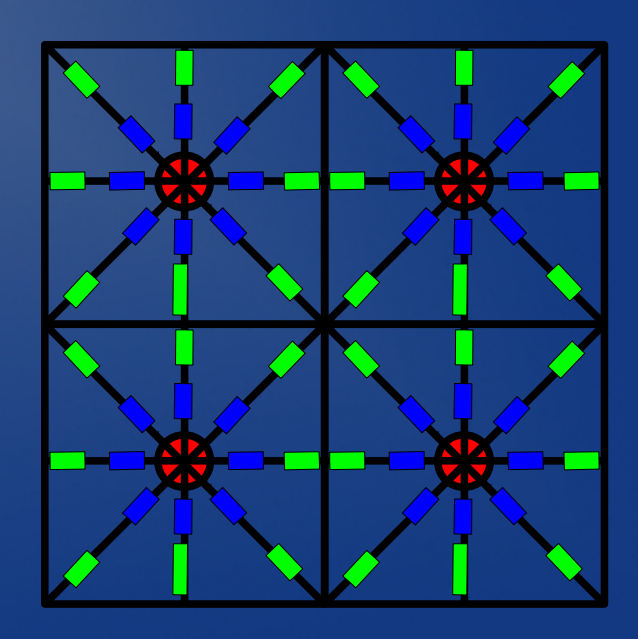
Micromegas Meeting 15/03/2012

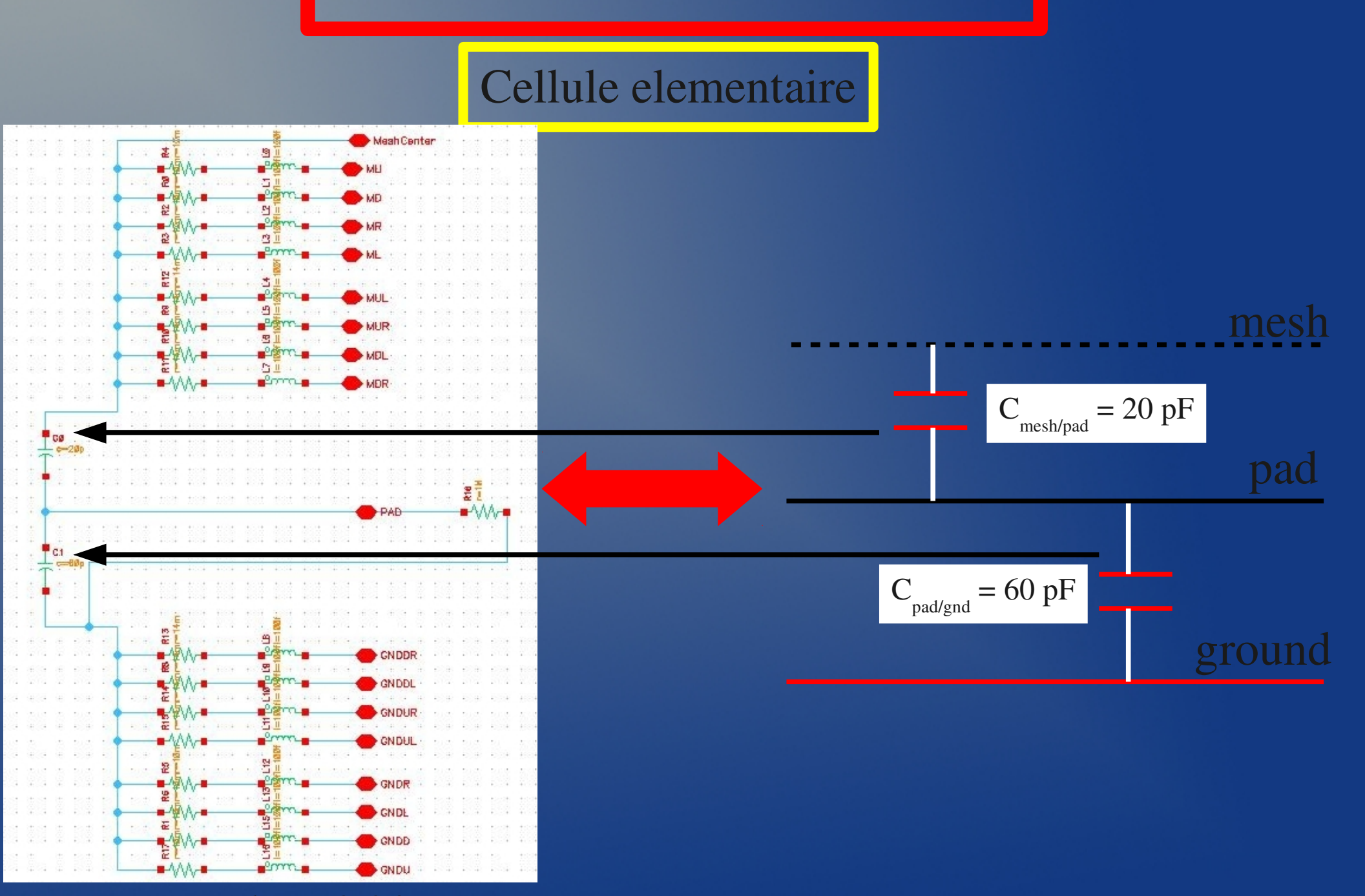
#### Cellule elementaire

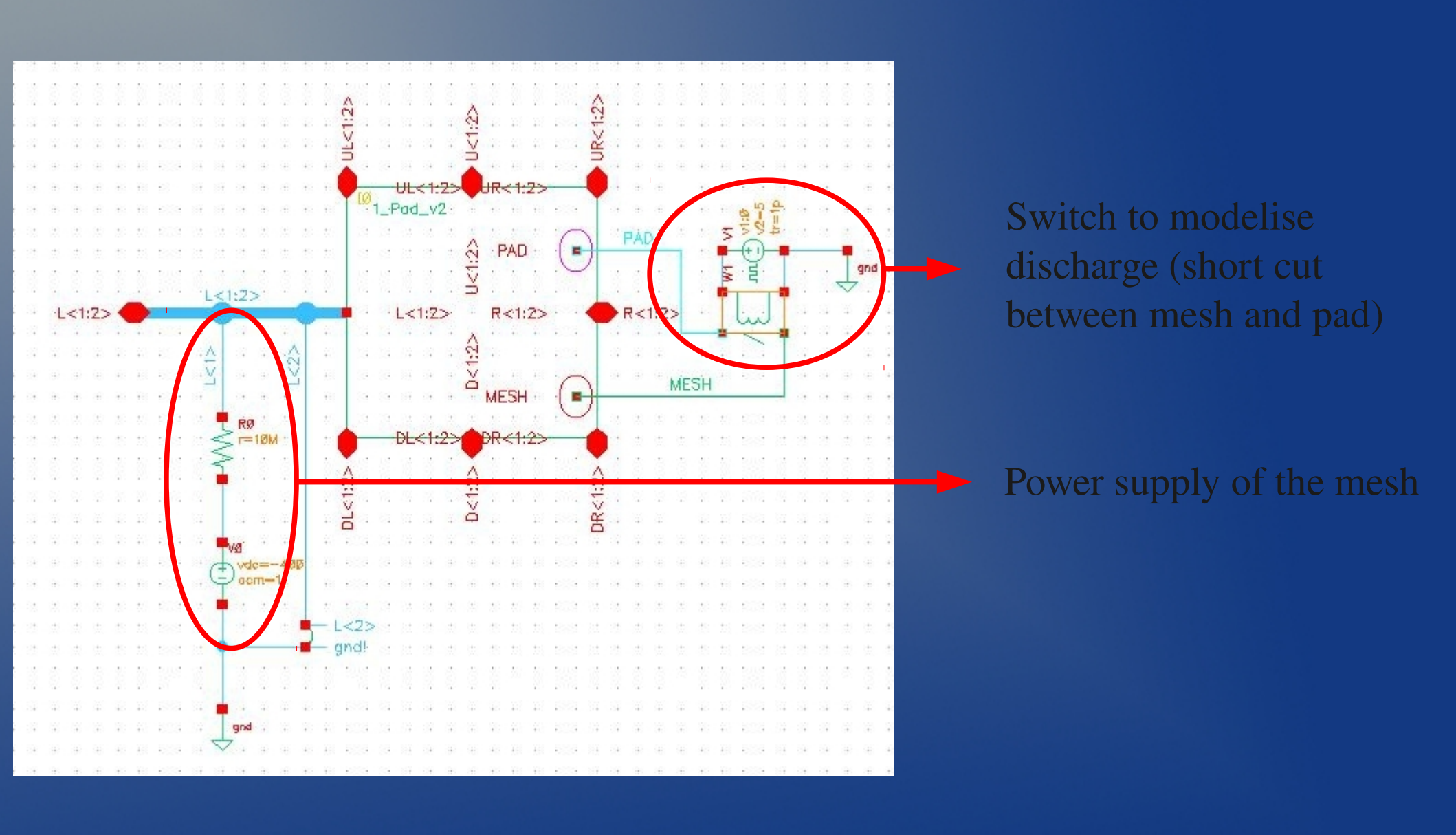


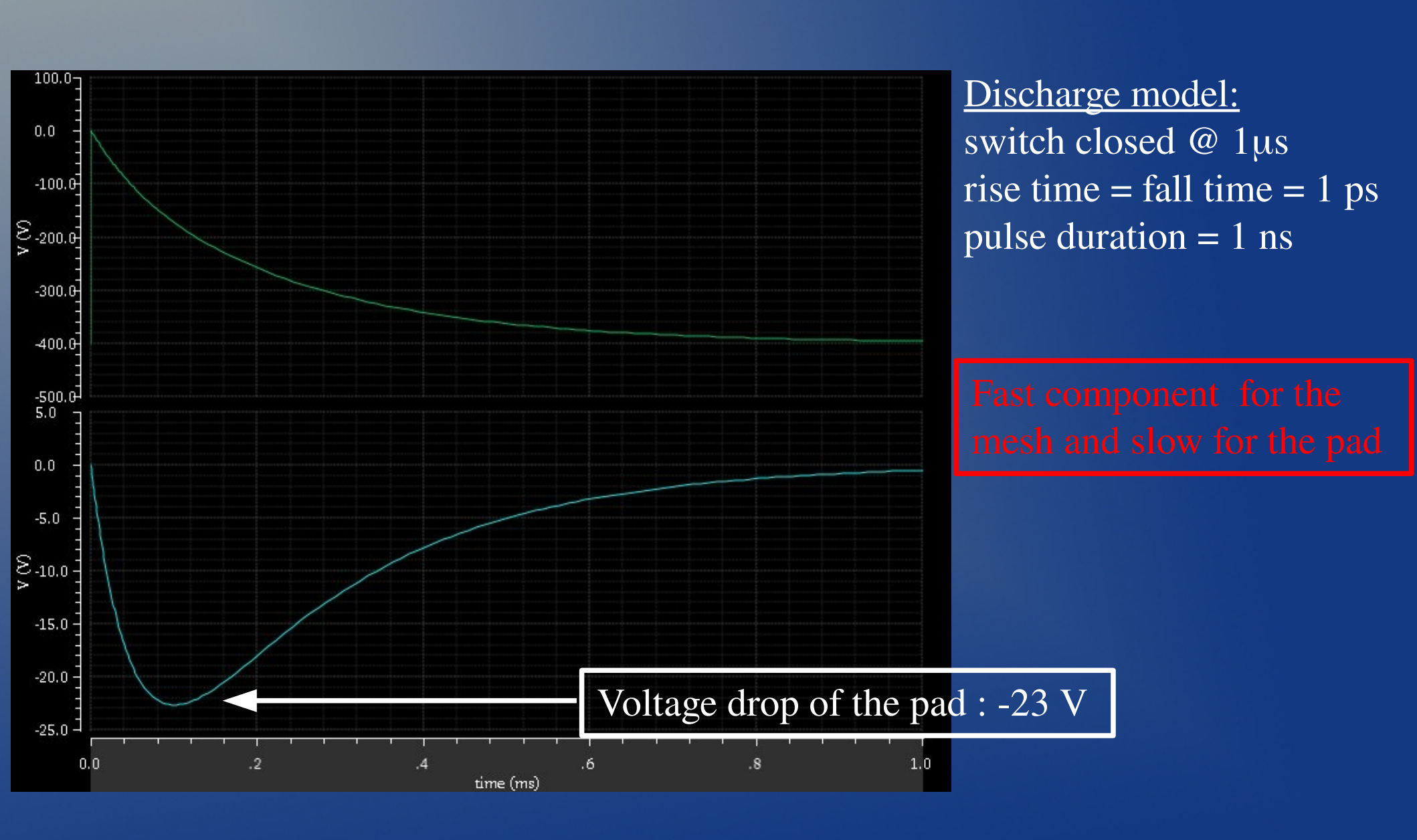
Modelisation de la grille et du plan de masse (cellule elementaire De 1cm2) : connection avec les cellules voisines par

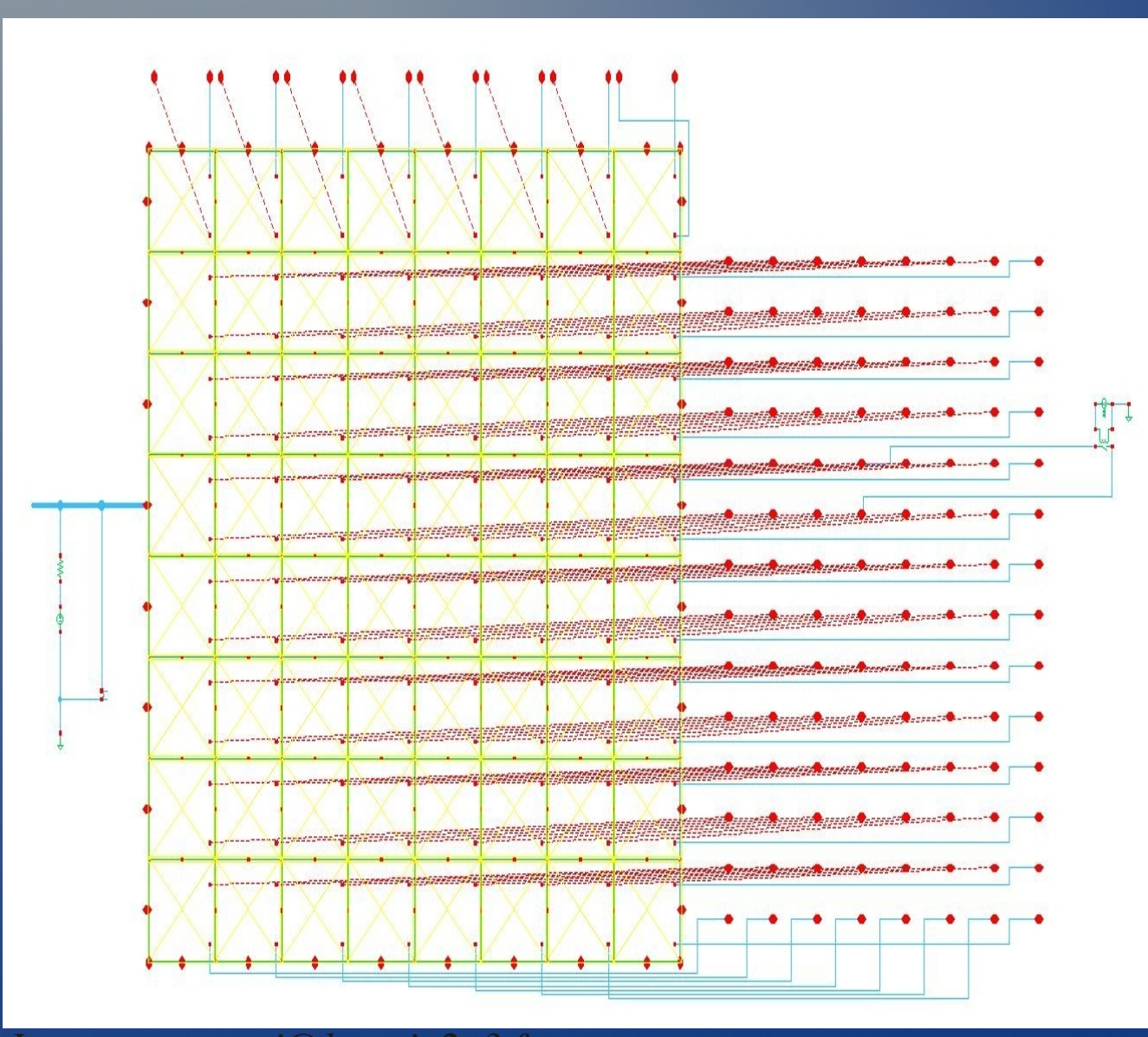
 $R = 10 \text{ m}\Omega$  horizontales et verticales and  $14 \text{ m}\Omega$  for diagonales L = 100 fH





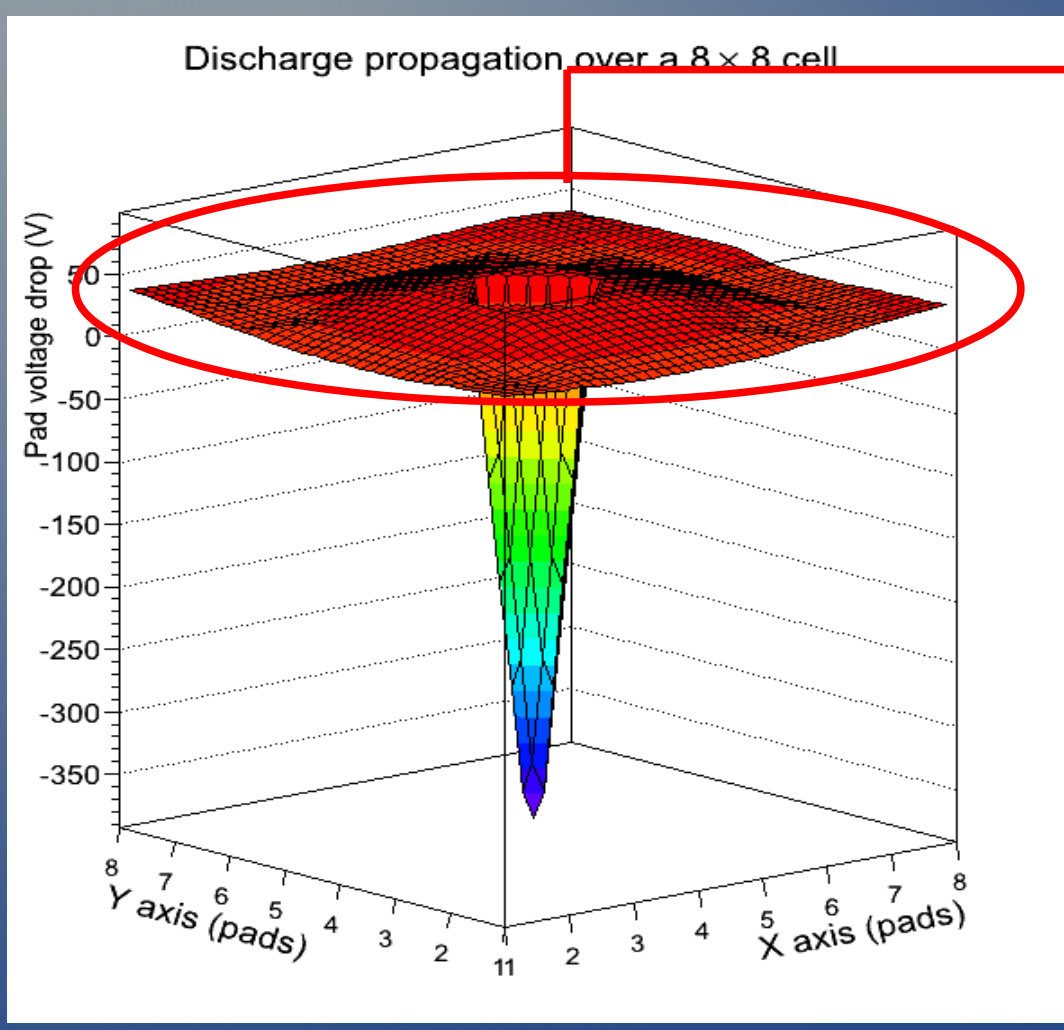


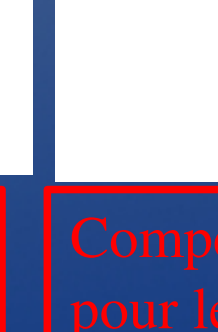


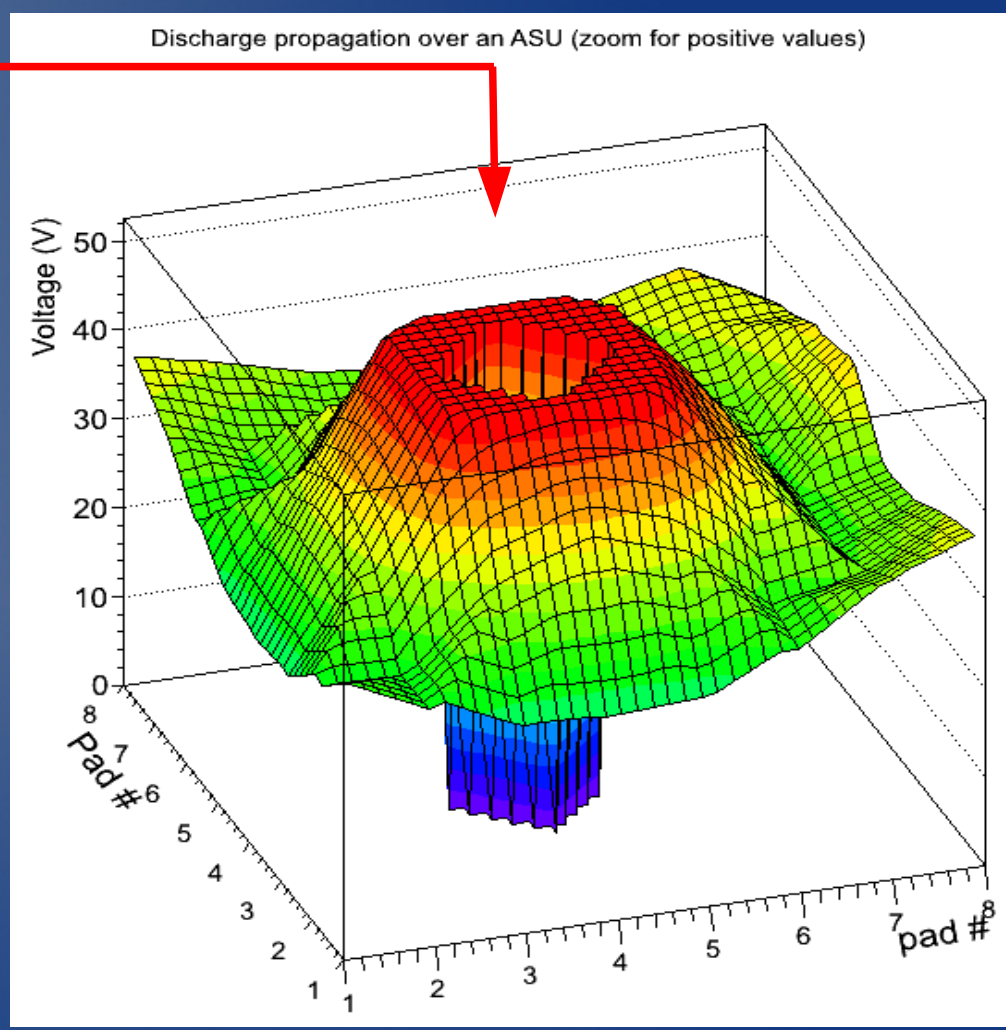


64 pads model

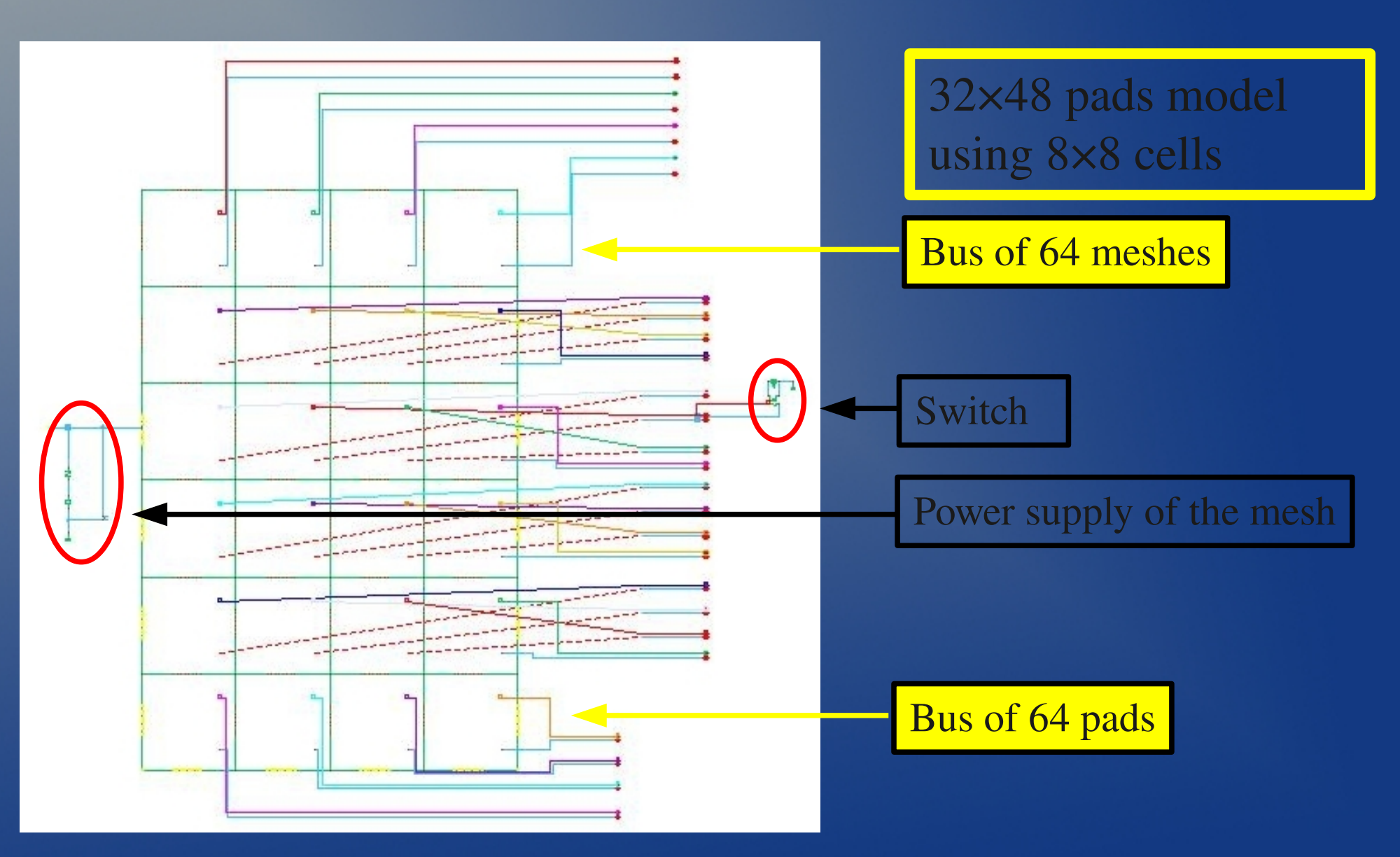
=> extend the model to N×N pads

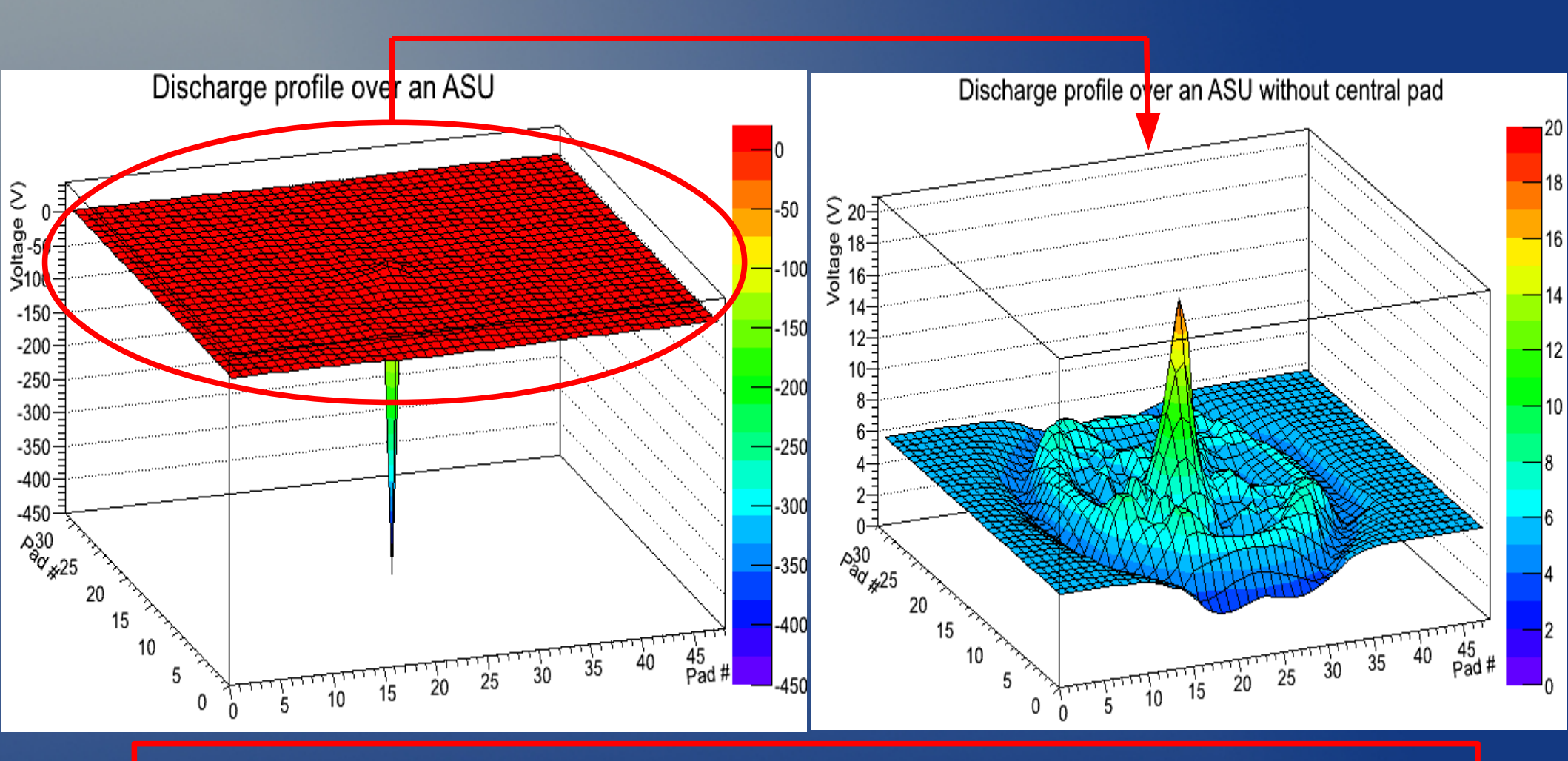






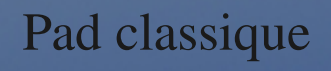
Compensation des pads voisins (~ +50 V pour les + proches et ~ +35 V pour les + lointains)

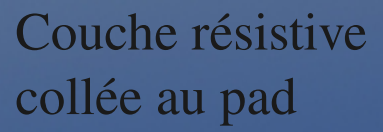


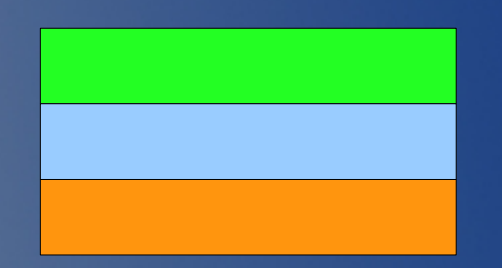


Comportement identique à 64 pads mais variation de tension + faible (nbre de pads + important) -> de ~ + 16 V pour les + proches -> ~ + 5V pour les + lointains

## Modèles de simulations incluant une couche résistive





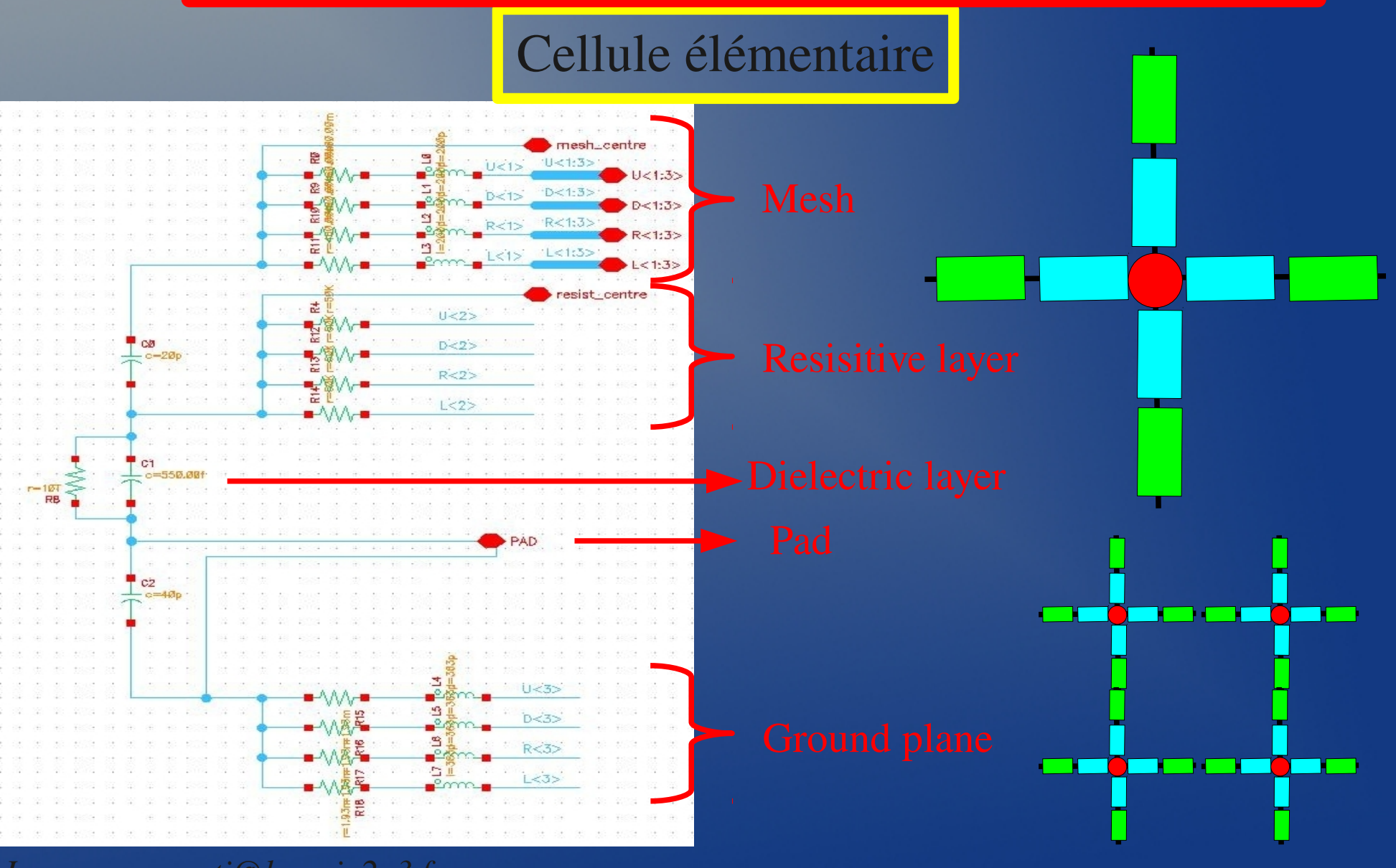


Couche résistive séparée du pad par un diélectrique FR4 (75 µm)



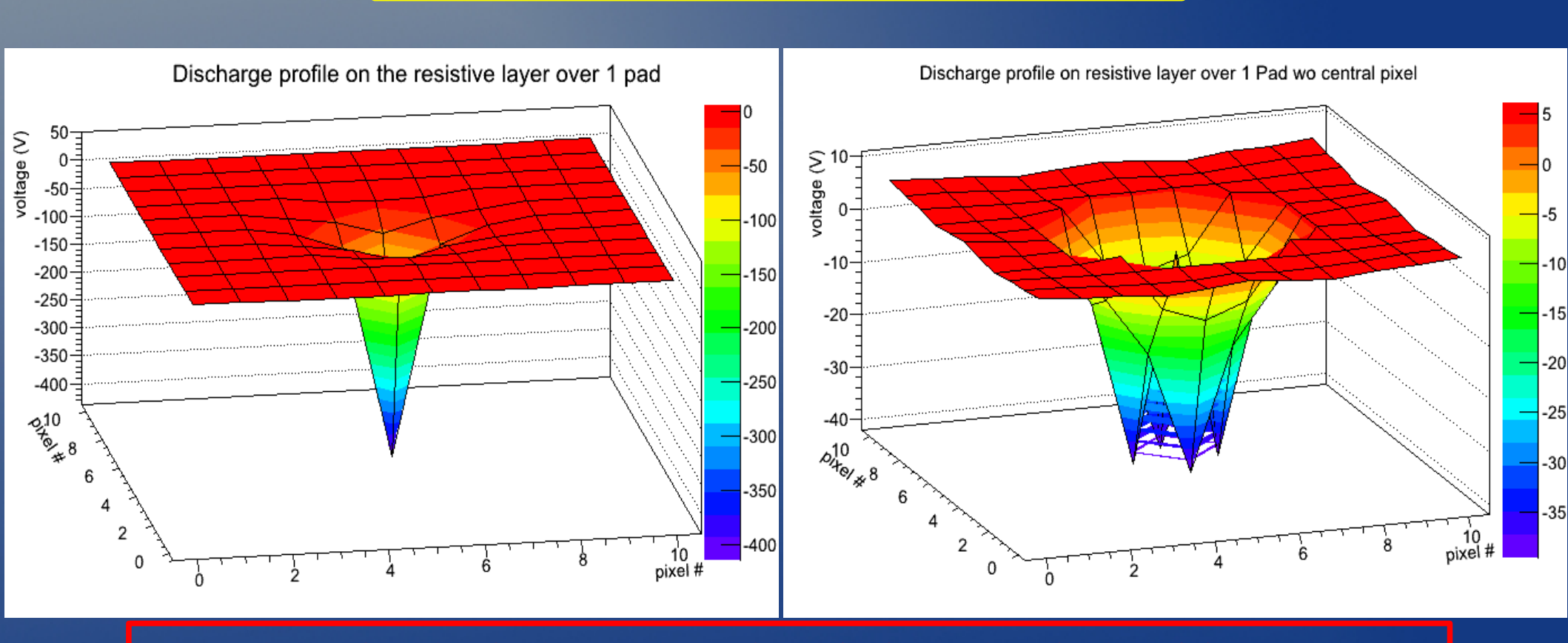
2 pads séparés par un diélectrique KAPTON (12,5µm)

### Modèle de simulations incluant une couche résistive



### Modèle de simulations incluant une couche résistive

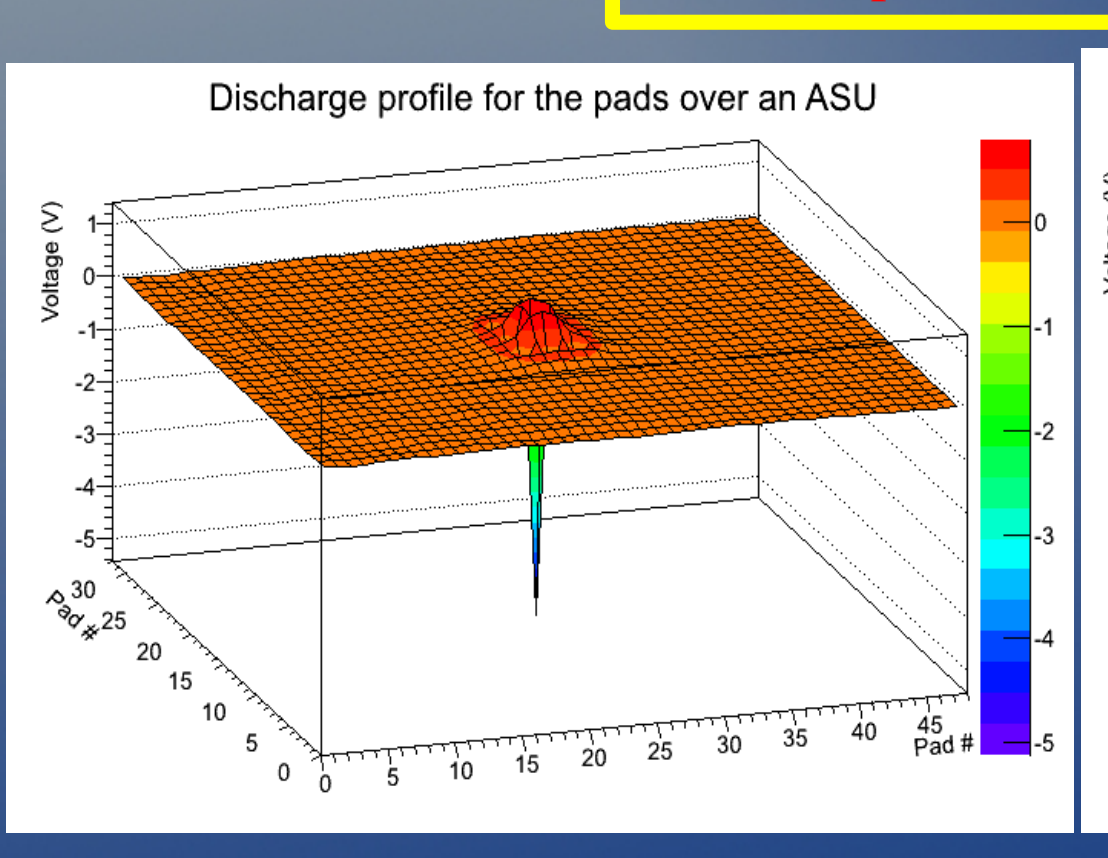
Surface 1 pad (11×11 cellules élémentaires)

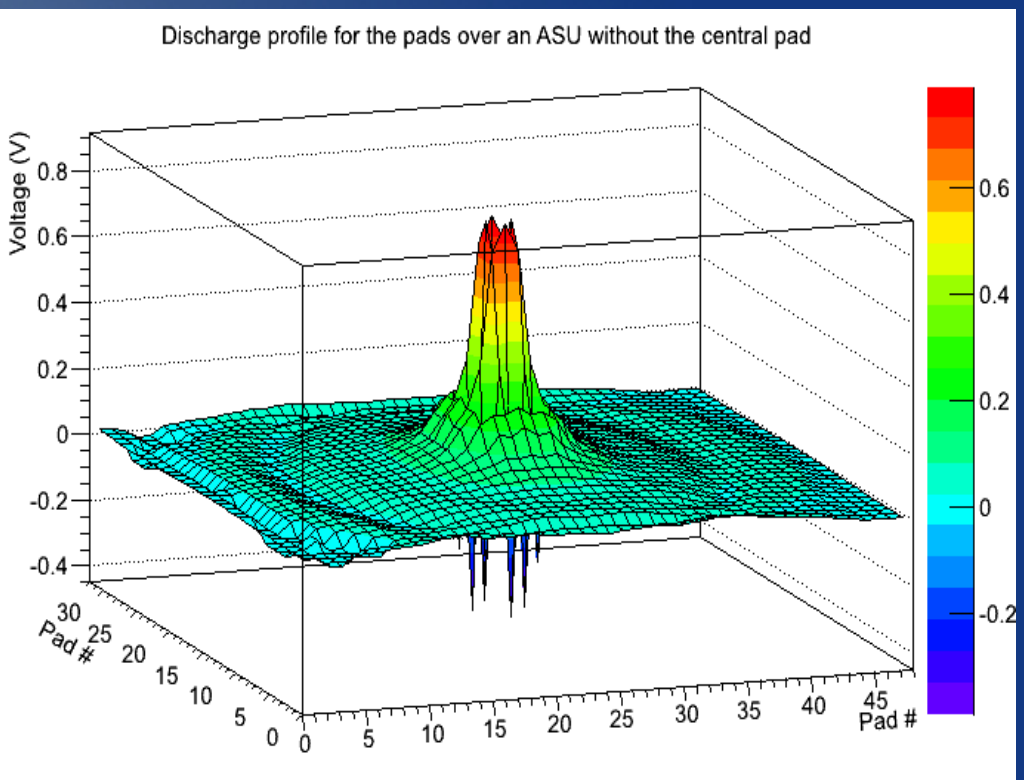


Chute de tension du pixel central (-415 V) ainsi que des pixels voisins (-40 V) et compensation des autres pads (+5 V)

### Modèle de simulations incluant une couche résistive

ASU complet (32×48 pads)





Comportement identique à ASU sans résistif mais variation de tension + faible (+ 0.8 V pour pads voisins) et variation ~ 0 V pour les + lointains

#### Perspectives

- 1. Modèle développé correct, besoin de tester les autres géométries
- 2.Début de test avec la carte dédiée et comparaison des résultats
- 3. Essai de décharges avec un détecteur réel (petit proto Gassiplex) et une source \alpha ???